

Starkniederschlagshöhen und -spenden gemäß KOSTRA-DWD-2010R

Auswertungszeitraum von 1951 - 2010, Januar - Dezember

Rasterfeld: 17065

Zeile: 17

Spalte: 65

Seite: 1/2

| Dauerstufe D | | Wiederkehrzeit T | | | | | | | | | | | | | | | | | |
|--------------|-----|------------------|------------|------|------------|------|------------|------|------------|------|------------|------|------------|------|------------|------|------------|-------|------------|
| | | 1 a | | 2 a | | 3 a | | 5 a | | 10 a | | 20 a | | 30 a | | 50 a | | 100 a | |
| min | Std | mm | l / (s ha) | mm | l / (s ha) | mm | l / (s ha) | mm | l / (s ha) | mm | l / (s ha) | mm | l / (s ha) | mm | l / (s ha) | mm | l / (s ha) | mm | l / (s ha) |
| 5 | | 5,1 | 170,0 | 7,1 | 236,7 | 8,2 | 273,3 | 9,6 | 320,0 | 11,6 | 386,7 | 13,5 | 450,0 | 14,6 | 486,7 | 16,0 | 533,3 | 18,0 | 600,0 |
| 10 | | 7,9 | 131,7 | 10,4 | 173,3 | 11,9 | 198,3 | 13,7 | 228,3 | 16,2 | 270,0 | 18,7 | 311,7 | 20,2 | 336,7 | 22,0 | 366,7 | 24,5 | 408,3 |
| 15 | | 9,7 | 107,8 | 12,6 | 140,0 | 14,3 | 158,9 | 16,4 | 182,2 | 19,4 | 215,6 | 22,3 | 247,8 | 24,0 | 266,7 | 26,1 | 290,0 | 29,0 | 322,2 |
| 20 | | 10,9 | 90,8 | 14,2 | 118,3 | 16,0 | 133,3 | 18,4 | 153,3 | 21,7 | 180,8 | 24,9 | 207,5 | 26,8 | 223,3 | 29,2 | 243,3 | 32,4 | 270,0 |
| 30 | | 12,5 | 69,4 | 16,2 | 90,0 | 18,4 | 102,2 | 21,2 | 117,8 | 25,0 | 138,9 | 28,7 | 159,4 | 30,9 | 171,7 | 33,7 | 187,2 | 37,4 | 207,8 |
| 45 | | 13,8 | 51,1 | 18,2 | 67,4 | 20,7 | 76,7 | 23,9 | 88,5 | 28,3 | 104,8 | 32,7 | 121,1 | 35,2 | 130,4 | 38,4 | 142,2 | 42,8 | 158,5 |
| 60 | | 14,6 | 40,6 | 19,4 | 53,9 | 22,3 | 61,9 | 25,9 | 71,9 | 30,7 | 85,3 | 35,5 | 98,6 | 38,4 | 106,7 | 42,0 | 116,7 | 46,8 | 130,0 |
| 90 | | 15,9 | 29,4 | 21,2 | 39,3 | 24,2 | 44,8 | 28,1 | 52,0 | 33,4 | 61,9 | 38,7 | 71,7 | 41,8 | 77,4 | 45,7 | 84,6 | 51,0 | 94,4 |
| 120 | 2 | 16,8 | 23,3 | 22,5 | 31,3 | 25,7 | 35,7 | 29,9 | 41,5 | 35,5 | 49,3 | 41,1 | 57,1 | 44,4 | 61,7 | 48,6 | 67,5 | 54,2 | 75,3 |
| 180 | 3 | 18,3 | 16,9 | 24,4 | 22,6 | 28,0 | 25,9 | 32,5 | 30,1 | 38,7 | 35,8 | 44,8 | 41,5 | 48,4 | 44,8 | 52,9 | 49,0 | 59,0 | 54,6 |
| 240 | 4 | 19,4 | 13,5 | 25,9 | 18,0 | 29,8 | 20,7 | 34,6 | 24,0 | 41,1 | 28,5 | 47,6 | 33,1 | 51,4 | 35,7 | 56,2 | 39,0 | 62,7 | 43,5 |
| 360 | 6 | 21,1 | 9,8 | 28,2 | 13,1 | 32,4 | 15,0 | 37,6 | 17,4 | 44,7 | 20,7 | 51,8 | 24,0 | 56,0 | 25,9 | 61,2 | 28,3 | 68,3 | 31,6 |
| 540 | 9 | 23,0 | 7,1 | 30,7 | 9,5 | 35,2 | 10,9 | 41,0 | 12,7 | 48,7 | 15,0 | 56,5 | 17,4 | 61,0 | 18,8 | 66,7 | 20,6 | 74,5 | 23,0 |
| 720 | 12 | 24,4 | 5,6 | 32,6 | 7,5 | 37,4 | 8,7 | 43,5 | 10,1 | 51,7 | 12,0 | 60,0 | 13,9 | 64,8 | 15,0 | 70,9 | 16,4 | 79,1 | 18,3 |
| 1080 | 18 | 26,5 | 4,1 | 35,5 | 5,5 | 40,7 | 6,3 | 47,4 | 7,3 | 56,3 | 8,7 | 65,3 | 10,1 | 70,6 | 10,9 | 77,2 | 11,9 | 86,2 | 13,3 |
| 1440 | 24 | 28,1 | 3,3 | 37,7 | 4,4 | 43,2 | 5,0 | 50,3 | 5,8 | 59,8 | 6,9 | 69,4 | 8,0 | 75,0 | 8,7 | 82,0 | 9,5 | 91,6 | 10,6 |
| 2880 | 48 | 34,1 | 2,0 | 44,1 | 2,6 | 50,0 | 2,9 | 57,3 | 3,3 | 67,4 | 3,9 | 77,4 | 4,5 | 83,3 | 4,8 | 90,7 | 5,2 | 100,7 | 5,8 |
| 4320 | 72 | 38,1 | 1,5 | 48,4 | 1,9 | 54,4 | 2,1 | 62,0 | 2,4 | 72,4 | 2,8 | 82,7 | 3,2 | 88,7 | 3,4 | 96,3 | 3,7 | 106,6 | 4,1 |

Angaben in mm: Bemessungsniederschlagswerte h(n)

Angaben in l / (s ha): Regenspende R(n) mit $R(n) = h(n) \times 1,666667 / D[\text{min}]$

Toleranzbereiche:

+/- 10 % für $1 \text{ a} \leq T \leq 5 \text{ a}$

+/- 15 % für $5 \text{ a} < T \leq 50 \text{ a}$

+/- 20 % für $50 \text{ a} < T \leq 100 \text{ a}$

Datenbasis: KOSTRA-DWD-2010R des Deutschen Wetterdienstes. Die Regenspende wurde auf Basis des Bemessungsniederschlags zur jeweiligen Andauer berechnet.

Für die Richtigkeit und Aktualität der Angaben wird keine Gewähr übernommen. Erstellt 07/2022.

Starkniederschlagshöhen und -spenden gemäß KOSTRA-DWD-2010R

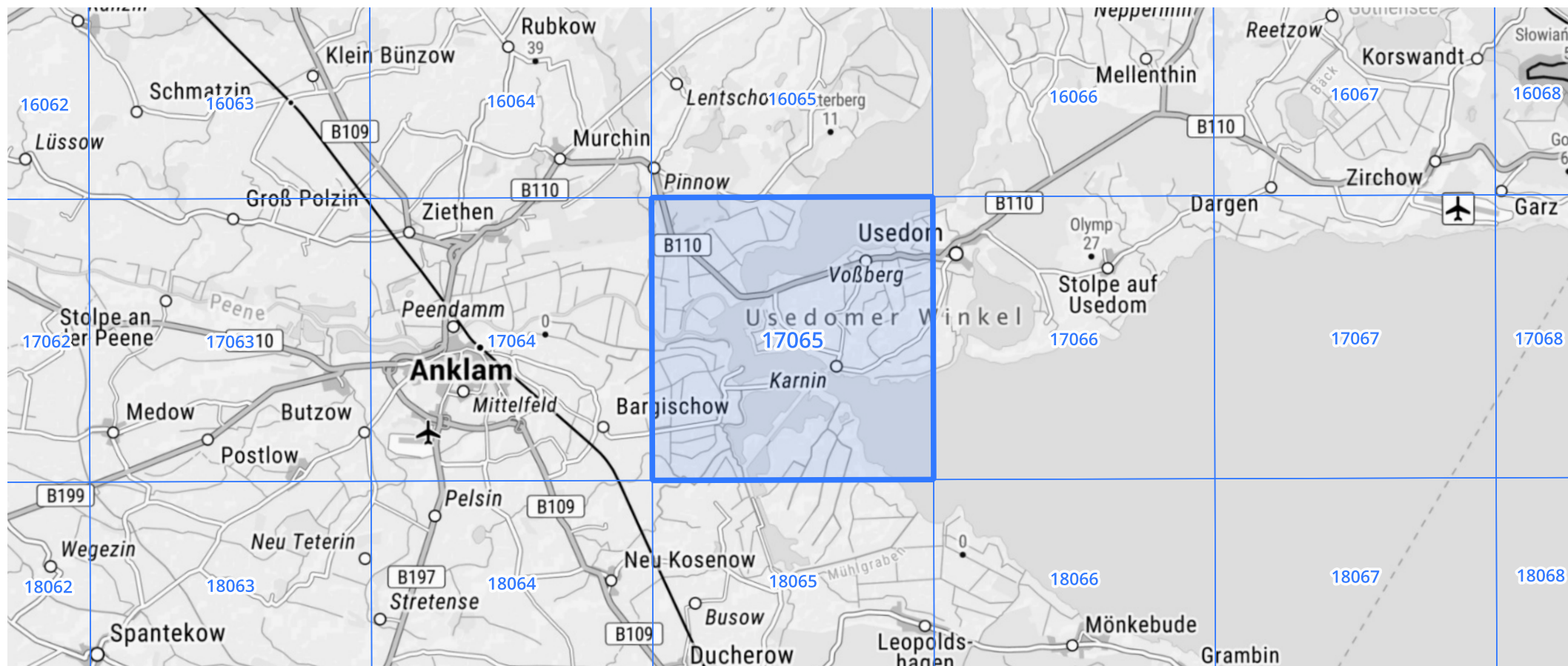
Auswertungszeitraum von 1951 - 2010, Januar - Dezember

Rasterfeld: 17065

Zeile: 17

Spalte: 65

Seite: 2/2



Quelle Rasterdaten: KOSTRA-DWD-2010R des Deutschen Wetterdienstes.

Kartendarstellung: © Bundesamt für Kartographie und Geodäsie (2022), Datenquellen: https://sgx.geodatenzentrum.de/web_public/gdz/datenquellen/Datenquellen_TopPlusOpen.html

Für die Richtigkeit und Aktualität der Angaben wird keine Gewähr übernommen. Erstellt 07/2022.